

تأثیر مواد مادری، گچ و کربنات‌ها بر پذیرفتاری مغناطیسی خاک‌های جنوب مشهد

علیرضا کریمی^{*} و حسین خادمی^۲

(تاریخ دریافت: ۱۳۹۰/۵/۲۵؛ تاریخ پذیرش: ۱۳۹۰/۱۱/۱۱)

چکیده

پذیرفتاری مغناطیسی، یک شیوه ساده و سریع برای تعیین ویژگی‌های خاک و رسوبات و تشریح فرآیندهای خاک‌سازی است. تفسیر داده‌های پذیرفتاری مغناطیسی خاک، نیازمند آگاهی از عوامل مؤثر بر آن است. به منظور شناخت تأثیر مواد مادری و مواد دیامغناطیس گچ و کربنات‌ها، ۴۲ نمونه از افق‌های خاک‌های تشکیل شده روی مواد مادری لسی، آبرفتی، گرانیتی و مارنی جنوب مشهد برداشت شد. گچ نمونه‌ها توسط شست و شوی متواالی با آب مقطر و کربنات‌ها توسط اسید کلریدریک رقیق حذف شدند. پذیرفتاری مغناطیسی نمونه‌های اصلی (χ_{bulk}^{lf} ، نمونه‌های عاری از گچ، χ_{GCF}^{lf} و کربنات‌ها (χ_{GCF}^{lf}) و نمونه‌های عاری از گچ، کربنات‌ها و شن (χ_{GCSF}^{lf}) اندازه‌گیری شد. نتایج، نشان‌دهنده یک همبستگی قوی ۱:۱ بین مقدار اندازه‌گیری شده و محاسبه شده χ_{bulk}^{lf} و χ_{GCF}^{lf} بود. خاک مارنی با وجود مقدار زیاد کربنات‌ها و گچ، آشکارا از خاک‌های دیگر بیشتر بود و تا $122/7 \times 10^{-8} \text{ m}^3 \text{ kg}^{-1}$ می‌رسید. در مقابل، χ_{bulk}^{lf} ساپرولیت گرانیتی کمتر از $10/4 \times 10^{-8} \text{ m}^3 \text{ kg}^{-1}$ بود. χ_{bulk}^{lf} خاک‌های لسی و آبرفتی حالت حد وسط داشت. به جز خاک مارنی) با مقدار شن همبستگی منفی داشتند که افزایش پذیرفتاری مغناطیسی پس از حذف شن، مؤید این مطلب بود؛ ولی کاهش پذیرفتاری مغناطیسی خاک مارنی پس از حذف شن، نشان‌دهنده طبیعت متفاوت در مقایسه با دیگر خاک‌ها بود. مقدار سیلت و رس با χ_{bulk}^{lf} همبستگی مثبت داشت؛ ولی مقادیر پذیرفتاری مغناطیسی به تغییرات رس حساس‌تر بودند که نشان‌دهنده اهمیت بیشتر رس در تأمین پذیرفتاری مغناطیسی است. به طور کلی، نتایج پژوهش حاضر بیانگر اهمیت مواد مادری و مواد دیامغناطیس متحرک گچ و کربنات‌ها بر مقدار پذیرفتاری مغناطیسی خاک می‌باشند و لازم است که نقش آنها در تفسیر نتایج پذیرفتاری مغناطیسی خاک‌ها در نظر گرفته شود.

واژه‌های کلیدی: پذیرفتاری مغناطیسی، گچ، کربنات‌ها، مارن، گرانیت، رس

۱. گروه علوم خاک، دانشکده کشاورزی، دانشگاه فردوسی مشهد

۲. گروه علوم خاک، دانشکده کشاورزی، دانشگاه صنعتی اصفهان

*: مسئول مکاتبات، پست الکترونیکی: karimi-a@um.ac.ir

مقدمه

نظر گرفته شود (۲۷ و ۱۳). در بین مواد دیامغناطیسی، گچ و کربنات‌ها به دلیل تحرکی که در خاک دارند در جریان فرآیندهای خاک‌سازی، باعث رقیق شدن تأثیر مواد مغناطیسی می‌شوند و تأثیر فرآیندهایی که سبب تغییر پذیرفتاری مغناطیسی می‌شوند را کم رنگ می‌کنند. مواد آلی که از بیرون سامانه خاک، بهویژه به سطح خاک اضافه می‌شوند و هم‌چنین رطوبت موجود در خاک نیز تأثیر مشابهی دارند. به همین دلیل برای حذف اثر این مواد و مقایسه واقعی تغییرات صورت گرفته، پذیرفتاری مغناطیسی مینروژنیک (Minerogenic) (براساس معادله ۳) محاسبه می‌شود (۱۰).

$$\chi_{\text{min ero}} = \frac{\chi_{\text{bulk}}}{(100 - \% \text{water} - \% \text{Organic matter} - \% \text{Carbonates})} \quad [۳]$$

χ_{minero} که χ_{bulk} پذیرفتاری مغناطیسی نمونه خاک هواخشک و پذیرفتاری مغناطیسی مینروژنیک است.

در ایران مطالعات پذیرفتاری مغناطیسی خاک، بسیار کم و به چند مطالعه انگشت‌شمار محدود می‌گردد (۱، ۲ و ۳) و اطلاعات درباره تأثیر نوع مواد مادری و نوع مواد دیامغناطیس بر پذیرفتاری مغناطیسی خاک بسیار کم است. این در حالی است که اکثر خاک‌های ایران بهویژه خاک‌های قدیمی در مرکز و شرق ایران، مقدار زیادی کربنات‌ها و گچ دارند و وجود این مواد حتی در افق‌های قدیمی آرجیلیک این مناطق معمول است. از طرف دیگر، برای محاسبه پذیرفتاری مغناطیسی مینروژنیک (معادله ۳)، به گچ توجه نشده است. با توجه به این که معادله ۳ برای استفاده در خاک‌های مناطق مرطوب توسعه پیدا کرده است عدم توجه به گچ قابل درک می‌باشد. حال، این پرسش مطرح می‌شود که آیا افزایش گچ مانند مواد دیامغناطیس دیگر به صورت خطی باعث رقیق شدن تأثیر مواد مغناطیسی و کاهش پذیرفتاری مغناطیسی می‌شود؟ از سوی دیگر، اگرچه گچ و کربنات‌ها دیامغناطیس هستند، آیا مقدار زیاد آنها در خاک‌های مناطق خشک که در برخی از موارد به بیش از ۵۰ درصد می‌رسد، تأثیری بر شدت یا ضعف بروز ویژگی‌های مواد مغناطیسی دارد و می‌توان برای محاسبه پذیرفتاری مغناطیسی مینروژنیک، اثر آنها را حذف کرد؟ در جنوب مشهد، در منطقه‌ای

در چند دهه گذشته، اندازه‌گیری پذیرفتاری مغناطیسی (Magnetic susceptibility) بهدلیل این که روشی سریع و ارزان است به صورت گستره در مطالعات خاک، مانند توصیف فرآیندهای خاک‌سازی و تکامل خاکرخ (۹، ۱۲، ۲۰، ۲۱ و ۲۳)، تفسیر اقلیم گذشته (۱۹ و ۲۲) و آلودگی خاک (۷ و ۱۴) استفاده شده است. پذیرفتاری مغناطیسی، شاخصی است که نشان‌دهنده میزان مغناطیسی شدن مواد در یک میدان مغناطیسی است. اگر میزان مغناطیسی شدن براساس حجم بیان شود، پذیرفتاری مغناطیسی عبارت است از (۲۳) :

$$k = M / H \quad [۱]$$

که M میزان مغناطیسی شدن حجمی جسم، H شدت میدان مغناطیسی و k میزان پذیرفتاری مغناطیسی حجمی است. K بدون واحد است. در مطالعات خاک، به طور معمول از پذیرفتاری مغناطیسی ویژه یا جرمی استفاده می‌شود که از رابطه زیر قابل محاسبه است:

$$c = k / r \quad [۲]$$

که χ پذیرفتاری مغناطیسی جرمی و P جرم حجمی است. واحد χ عکس واحد جرم حجمی می‌باشد و در سامانه متريک، $\text{m}^3 \text{kg}^{-1}$ است. عامل اصلی وجود پذیرفتاری مغناطیسی در خاک‌ها، ترکیبات آهن است زیرا میزان آهن در پوسته زمین، ۴۰ برابر مجموع عناصر مغناطیسی دیگر است (۸). در جدول ۱ تقسیم‌بندی مواد براساس شدت مغناطیسی پذیری نشان داده شده‌اند. در بیشتر خاک‌ها، مگنتیت و مگنومیت عوامل اصلی ایجاد پذیرفتاری مغناطیسی هستند (۲۳).

اندازه‌گیری پذیرفتاری مغناطیسی اگرچه ساده می‌باشد ولی تفسیر نتایج آن مهم تر بوده و به طور معمول پیچیده است. بنابراین لازم است قبل از هر گونه تفسیری، عوامل مؤثر در ایجاد و تغییرات پذیرفتاری مغناطیسی شناخته شوند (۲۴). عواملی مانند مقدار و نوع مواد دیامغناطیس، نوع مواد مادری و فرآیندهای خاک‌سازی بر میزان پذیرفتاری مغناطیسی مؤثر هستند که نقش هر یک از این عوامل باید در تفسیر نتایج در

جدول ۱. تقسیم‌بندی مواد براساس رفتار مغناطیسی (۱۶)

ویژگی مغناطیسی	مثال (پذیرفتاری مغناطیسی بر حسب $10^{-8} \text{ m}^3 \text{ kg}^{-1}$)
فرومغناطیس	آهن (۵۰۰۰۰)
فری‌مغناطیس	مگنتیت (۲۰۰۰۰ تا ۱۱۰۰۰۰)، مگھمیت (۴۰۰۰۰۰ تا ۵۰۰۰۰)
آنٹی‌فرومغناطیس	هماتیت (۱۰ تا ۷۶۰)، گنوتیت (۲۶۰ تا ۲۸۰)
پارامغناطیس	لپیدوکروسیت (۴۰ تا ۷۰)، بیوتیت (۵۲ تا ۹۸)
دیامغناطیس	گچ (۰/۵ - تا ۱/۳)، کربنات کلسیم (۳/۰ - تا ۱/۴)، کوارتز (۰/۵ - تا ۰/۶)

مقدار گچ و کربنات‌ها از تنوع مناسبی برخوردار هستند (۱۸). دو خاکرخ بر روی تپه‌ماهورهای گرانیتی شامل خاک متتشکل از رسوبات لسی بر روی ساپرولیت گرانیتی و خاک گرانیتی تشکیل شده به صورت درجا، دو خاکرخ در دشت دامنه‌ای و یک خاکرخ بر روی تپه‌ماهورهای مارنی به همراه یک مقطع عمیق لسی در دامنه تپه‌ماهورهای گرانیتی، مطالعه شدن و از افق‌های مختلف آن‌ها تعداد ۴۲ نمونه برداشت گردید. توزیع اندازه ذرات توسط روش پیپت، مقدار کربنات کلسیم معادل به روش تیتراسیون برگشته و گچ به روش حرارتی تعیین شد (۲۸). برای سهولت، در ادمه، واژه کربنات‌ها به جای کربنات کلسیم معادل استفاده خواهد شد.

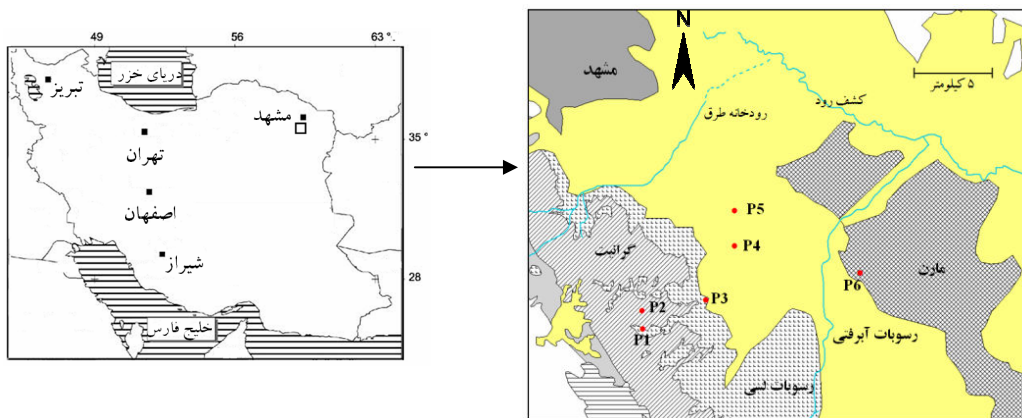
پذیرفتاری مغناطیسی نمونه‌ها در چند مرحله شامل نمونه‌های اصلی ($\chi_{\text{GCF}}^{\text{bulk}}$ ، نمونه‌های عاری از گچ) (۱۷)، نمونه‌های عاری از گچ و کربنات‌ها (χ_{GCF} و نمونه‌های عاری از گچ، کربنات‌ها و شن) (۱۸) توسط دستگاه Bartington MS2 در فرکانس پایین (0.47 kHz) اندازه‌گیری شد. گچ، توسط شست‌وشوی متوالی با آب مقطر از نمونه‌ها حذف شد. تنه‌نشین نشدن رس در سوسپانسیون به علت خروج الکتروولیت‌ها نشانه‌ای از حذف گچ می‌باشد. برای اطمینان از خروج گچ از تست کلرید باریم استفاده شد (۲۵). کربنات‌های نمونه‌ها که قبلاً گچ آنها حذف شده بود، با توجه به مقدار کربنات‌ها، با استفاده از مقدار مناسب اسید کلریدیک رقیق حذف شد. برای اندازه‌گیری پذیرفتاری مغناطیسی، در هر مرحله نمونه‌ها هواخشک شدند. لازم به توضیح است که به دلیل این‌که بخش زیادی از آب تبلور گچ در درجه حرارت ۱۰۵ درجه سلسیوس خارج می‌شود؛ برای آنالیز

با وسعت کم، خاک‌ها بر روی مواد مادری گوناگون شامل سنگ‌های گرانیتی، رسوبات مارنی، رسوبات آبرفتی و رسوبات لسی تشکیل شده‌اند. خاک‌های تشکیل شده دارای افق‌های گوناگون شامل کمبیک، کلسیک، ریپسیک و آرجیلیک هستند. خاک‌های تشکیل شده از نظر بافت و مقدار گچ و کربنات‌ها، تنوع مناسبی دارند و برای مطالعه پذیرفتاری مغناطیسی مناسب هستند. بنابراین، اهداف این مطالعه را می‌توان در موارد زیر خلاصه نمود:

۱. اندازه‌گیری پذیرفتاری مغناطیسی در رسوبات مختلف و بررسی چگونگی تأثیر کربنات‌ها و گچ بر میزان پذیرفتاری مغناطیسی
۲. بررسی تأثیر مواد مادری بر میزان پذیرفتاری مغناطیسی

مواد و روش‌ها

منطقه مورد مطالعه در جنوب مشهد به مرکزیت طول جغرافیایی $59^{\circ} 42'$ شرقی و عرض جغرافیایی $36^{\circ} 50'$ شمالی قرار دارد (شکل ۱). در این منطقه از غرب به شرق، تپه‌ماهورهای گرانیتی، دامنه تپه‌ماهورهای گرانیتی، دشت دامنه‌ای و تپه‌ماهورهای مارنی قرار دارند. رسوبات لسی با ضخامت کم و پراکنده، بخش‌های مسطح تپه‌ماهورهای گرانیتی و رسوبات لسی با ضخامت بیش از ۱۰ متر، دامنه این تپه‌ها را پوشانده‌اند. دشت دامنه‌ای از رسوبات آبرفتی ارتفاعات دگرگونی و رسوبات لسی منتقل شده از تپه‌ماهورهای گرانیتی پوشیده شده است. تپه‌ماهورهای مارنی از مارن‌های قرمز سرشار از گچ تشکیل شده‌اند. خاک‌های این منطقه از نظر توزیع اندازه ذرات،



شکل ۱. موقعیت منطقه مطالعاتی به همراه محل حفر خاکرخ‌ها و انواع مواد مادری

(P1: خاکرخ لسی بر روی ساپرولیت گرانیتی، P2: خاکرخ گرانیتی، P3: مقطع لسی، P4 و P5: خاکرخ‌های آبرفتی و P6: خاک مارنی)

شن، سیلت، رس، گچ و کربنات‌ها در جدول ۲ نشان داده شده‌اند. به دلیل تشابه، فقط نتایج ۴ خاکرخ آورده شده است. بیشترین مقدار گچ در خاک‌های مارنی و ساپرولیت گرانیتی است که مقدار آن به بیش از ۴۵ درصد می‌رسد و مجموع مقدار گچ و کربنات‌ها در خاک مارنی تا ۶۷ درصد هم می‌رسد. برخی از پارامترهای آماری و ویژگی‌های خاک در جدول ۳ نشان داده شده‌اند. اطلاعات این جدول نشان می‌دهد که خاک‌ها از نظر حداقل، حداکثر و پراکنش ویژگی‌های مؤثر بر پذیرفتاری مغناطیسی از تنوع لازم برخوردار هستند. شکل ۲ الف و ب نشان‌دهنده همبستگی بالای بین پذیرفتاری مغناطیسی اندازه‌گیری و محاسبه شده پس از حذف گچ (χ_{GCF}) و حذف گچ و کربنات‌ها (χ_{minero}) است. تجمع داده‌ها در اطراف خط $Y=X$ نشان‌دهنده دقت زیاد برآورد توسط معادلات ۵ و ۶ می‌باشد. میزان پذیرفتاری مغناطیسی گچ و کربنات‌ها $10^{-5} \times 10^{-8} \text{ m}^3 \text{ kg}^{-1}$ تا $10^{-8} \text{ m}^3 \text{ kg}^{-1}$ (جدول ۱) است که باعث مقداری تفاوت بین مقادیر پذیرفتاری مغناطیسی اندازه‌گیری و محاسبه شده می‌گردد. با توجه به نتایج به دست آمده، می‌توان گفت که مقدار زیاد گچ و کربنات‌ها بر بروز ویژگی مواد مغناطیسی اثری نداشته‌اند و فقط باعث رقیق شدن اثر آنها می‌شوند. بنابراین، χ_{GCF} محاسبه شده را می‌توان برابر با χ_{minero} در نظر گرفت.

نمونه‌های دارای گچ، نباید از درجه حرارت‌های بیشتر از ۴۰ درجه سلسیوس استفاده شود (۲۵).

علاوه بر اندازه‌گیری مستقیم پذیرفتاری مغناطیسی توسط دستگاه، معادلات ۴ و ۵ برای محاسبه تئوریک پذیرفتاری مغناطیسی نمونه‌های عاری از گچ (χ_{Gr}) و عاری از گچ و کربنات‌ها (χ_{GCF})، پیشنهاد شدند. پس از حذف گچ، درصد نسبی کربنات‌ها در خاک افزایش پیدا می‌کند که این افزایش در مقدار نسبی کربنات‌ها در معادله ۴ مد نظر قرار گرفته است. مقایسه مقادیر اندازه‌گیری شده و محاسبه شده، دقت معادلات در برآورد پذیرفتاری مغناطیسی را نشان خواهد داد. در این معادلات، فرض شده است که درصد مواد آلی و رطوبت خاک هواخشک در برابر درصد گچ و کربنات‌ها قابل صرف نظر کردن است.

$$\chi_{GCF} = \chi_{bulk} \times \frac{100}{(100 - \% \text{Gypsum}) + (\frac{\% \text{Carbonates}}{100 - \% \text{Gypsum}} - \% \text{Gypsum})} \quad [4]$$

$$\chi_{minero} = \chi_{bulk} \times \frac{100}{(100 - \% \text{Carbonates} - \% \text{Gypsum})} \quad [5]$$

نتایج و بحث

تأثیر گچ و کربنات‌ها بر پذیرفتاری مغناطیسی
نتایج اندازه‌گیری پذیرفتاری مغناطیسی به همراه نتایج درصد

جدول ۲. توزیع اندازه ذرات، گچ، کربنات‌ها و مقادیر پذیرفتاری مغناطیسی اندازه‌گیری شده خاک در نیمارهای گوناگون

$\chi_{\text{GCF}}^{\text{lf}}$	$\chi_{\text{Gf}}^{\text{lf}}$	$\chi_{\text{bulk}}^{\text{lf}}$	کلسیم معادل (کربنات‌ها)	گچ	رس	سیلت	شن	عمق	افق				
$\chi_{\text{GCSF}}^{\text{lf}}$					$10^{-8} \text{ m}^3 \text{ kg}^{-1}$	%	cm						
خاک لسی بر روی ساپرولیت گرانیتی													
۱۲۰/۳	۱۱۲	۸۵/۷	۸۱/۱	۲۷	۶/۵	۱۱/۶	۷۳/۱	۱۵/۳	۰-۱۵	Ap			
۱۲۲/۲	۱۰۰/۹	۸۱/۴	۷۳	۴۲	۵/۴	۱۶/۱	۶۶/۸	۱۷/۱	۱۵-۴۰	Bk			
۱۲۷/۳	۵۲/۳	۴۳/۵	۴۳/۸	۳۱	۵/۳	۱۶/۹	۴۲/۵	۴۰/۶	۴۰-۸۵	2Btk			
۷۰/۶	۲۰/۴	۱۷/۷	۱۰/۴	۴	۴۵	۲/۹	۲/۹	۹۴/۲	۸۵-۱۲۰	2Cry1			
۱۳/۴	۸/۳	۵/۷	۵/۲	۱۲	۱۰/۳	۱/۹	۸/۳	۸۹/۸	۱۲۰-۱۵۰	2Cry2			
خاک گرانیتی													
۱۲۲/۱	۷۵/۹	۶۵/۸	۶۷/۴	۱۹	۴/۳	۷/۴	۳۲/۳	۶۰/۴	۰-۳۰	Ap			
۱۱۳/۶	۵۷/۵	۴۸/۶	۴۲/۷	۴۰	۴/۷	۱۱	۴۵/۳	۴۳/۷	۳۰-۶۵	Bk			
۳۱/۸	۱۴/۳	۱۲/۵	۶/۶	۱۴	۴۵	۶/۵	۲۷/۳	۶۶/۲	۶۵-۱۰۰	Cry1			
۳۲/۴	۱۳	۱۳/۱	۸	۸	۳۶/۸	۵	۲۵	۷۰	۱۰۰-۱۳۰	Cry2			
خاک آبرفتی													
۸۲/۸	۶۵/۶	۷۰/۱	۵۸/۴	۱۱	۴/۲	۱۶/۳	۶۴/۱	۶۴/۱	۰-۳۰	Ap			
۸۳	۷۲/۳	۶۱/۸	۵۹/۹	۱۳	۲/۹	۱۳/۵	۷۰/۳	۷۰/۳	۳۰-۵۰	Bk			
۸۸	۶۸/۷	۶۱/۳	۵۸/۶	۱۹	۴/۳	۲۱/۶	۵۴/۶	۵۴/۶	۵۰-۷۰	C			
۷۵/۷	۶۴/۹	۵۴/۱	۵۰/۵	۱۸	۷/۱	۲۵	۵۸/۴	۵۸/۴	۷۰-۱۰۰	Cy			
خاک مارنی													
۱۶۲	۱۷۷	۱۲۵/۷	۱۲۲/۷	۲۸	۹/۴	۱۳	۶۰/۷	۲۶/۳	۰-۱۵	Ap1			
۱۵۰/۶	۱۶۵/۸	۱۳۲/۲	۱۱۳/۴	۱۰	۱۶/۲	۲۰/۱	۶۸/۳	۱۱/۶	۱۵-۴۰	Ap2			
۱۱۱/۸	۱۲۱/۸	۸۰/۳	۴۲/۹	۱۹	۴۷/۲	۶/۸	۳۸/۴	۵۴/۸	۴۰-۶۰	Cy1			
۱۵۶/۱	۱۶۷/۷	۱۰۳/۵	۵۷/۴	۱۹	۴۸/۷	۵/۶	۴۳/۶	۵۰/۸	۶۰-۹۰	Cy2			
۱۵۷/۲	۱۵۸/۱	۱۰۴/۶	۵۷	۱۶	۴۷/۵	۷/۲	۴۳/۸	۴۹	۹۰-۱۱۰	Cr1			
۱۵۲/۵	۱۷۰/۳	۱۳۸/۶	۷۸/۶	۲۹	۴۷/۸	۴/۴	۳۶	۵۹/۶	۱۱۰-۱۴۰	Cr2			

$\chi_{\text{GCF}}^{\text{lf}}$: پذیرفتاری مغناطیسی هواخشک. $\chi_{\text{Gf}}^{\text{lf}}$: پذیرفتاری مغناطیسی پس از حذف گچ. $\chi_{\text{GCSF}}^{\text{lf}}$: پذیرفتاری مغناطیسی پس از حذف گچ و کربنات‌ها و $\chi_{\text{GCSF}}^{\text{lf}}$: پذیرفتاری مغناطیسی پس از حذف گچ، کربنات‌ها و شن

جدول ۳. پارامترهای آماری ویژگی‌های خاک

انحراف معیار	میانگین	حداکثر	حداقل	تعداد نمونه	
۱۵/۰۵	۱۳/۵	۴۸/۷	۲/۹	۴۲	گچ (%)
۷/۸	۱۹/۳	۴۲	۴	۴۲	کربنات‌ها (%)
۲۲/۳	۲۸/۳	۹۴/۲	۵/۸	۴۲	شن (%)
۱۹/۷	۵۷/۸	۷۸/۵	۲/۹	۴۲	سیلت (%)
۶/۲	۱۳/۹	۲۵	۱/۹	۴۲	رس (%)
۲۲/۰	۵۳/۴	۱۲۲/۷	۵/۲	۴۲	$\chi_{\text{bulk}}^{\text{lf}}$
۲۹/۴	۶۳/۴	۱۳۸/۶	۵/۷	۴۲	$\chi_{\text{Gf}}^{\text{lf}}$
۴۱/۵	۷۹/۷	۱۷۷	۸/۳	۴۲	$\chi_{\text{Gcf}}^{\text{lf}}$
۳۳/۵	۹۲/۰	۱۶۲	۱۳/۴	۴۲	$\chi_{\text{Gcsf}}^{\text{lf}}$

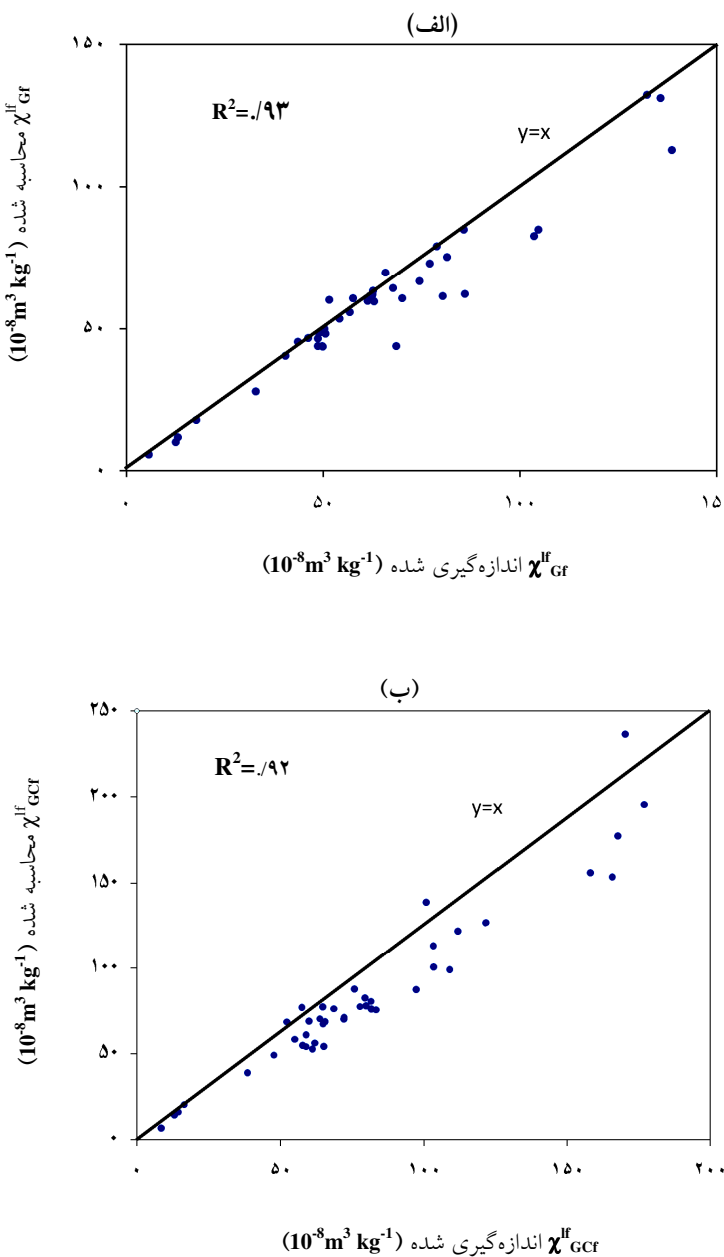
واحد مقادیر پذیرفتاری مغناطیسی $\text{kg}^{-1} \text{m}^{-8}$ است.

این حال مقادیر $\chi_{\text{bulk}}^{\text{lf}}$ در مقایسه با خاک‌های دیگر زیاد می‌باشد. مقادیر $\chi_{\text{Gcf}}^{\text{lf}}$ به دلیل حذف شدن گچ و کربنات‌ها، تأثیر مواد مادری و فرآیندهای خاک‌سازی را آشکارتر می‌کنند. $\chi_{\text{Gcf}}^{\text{lf}}$ تمامی افق‌های خاک مارنی نسبت به سایر خاک‌ها بسیار زیاد بوده و $\text{ta}^{-8} \text{ kg}^{-1} \text{ m}^{-8} \times 10^{10}$ در افق سطحی می‌رسد (جدول ۲). پذیرفتاری انواع سنگ‌ها (رسوبی، دگرگونی و آذرین) به ترکیب کانی‌شناسی آنها وابسته است و حتی پذیرفتاری یک نوع سنگ بسته به شرایط تشکیل، تفاوت زیادی دارد. این تفاوت‌ها به حدی است که $\chi_{\text{bulk}}^{\text{lf}}$ خاک مارنی جنوب مشهد نسبت به خاک‌های تشکیل شده از مواد مادری رسوبی در ژیانگ چین (۲۷) و اتریش (۱۳) بیشتر است.

این نتایج نشان می‌دهند که شرایط تشکیل مارن‌ها در جنوب مشهد منحصر به فرد بوده و مواد مغناطیسی یا در آنها تشکیل شده‌اند یا از یک منبع با مواد مغناطیسی قابل توجه تأمین گردیده‌اند. مارن‌های جنوب مشهد بر روی نقشه زمین‌شناسی به عنوان مارن‌های قرمز معرفی شده‌اند (۴) که قرمز بودن آنها احتمالاً به دلیل وجود ترکیبات آهن مغناطیسی است. مقدار $\chi_{\text{bulk}}^{\text{lf}}$ خاک مارنی در سطح زیاد است که دلیل اصلی آن کم شدن گچ در افق‌های سطحی به دلیل شست‌وشوی گچ می‌باشد.

پذیرفتاری مغناطیسی خاک‌ها

لس، گرانیت، مارن و رسوبات آبرفتی چهار نوع ماده مادری اصلی تشکیل دهنده خاک‌های این منطقه می‌باشند. کمترین و بیشترین مقدار $\chi_{\text{bulk}}^{\text{lf}}$ به ترتیب $5/2 \times 10^{-8} \text{ kg}^{-1} \text{ m}^{-8}$ و $122/7 \times 10^{-8} \text{ kg}^{-1}$ مربوط به ساپرولیت گرانیتی در زیر خاک لسی (2Cry2) و (Ap1) است (جدول ۲). با حذف گچ و کربنات‌ها، حداقل، $\chi_{\text{bulk}}^{\text{lf}}$ و ساپرولیت گرانیتی در زیر خاک لسی و آبرفتی، حد $\chi_{\text{bulk}}^{\text{lf}}$ و ساپرولیت گرانیتی است. مقدار $\chi_{\text{bulk}}^{\text{lf}}$ و ساپرولیت گرانیتی به ترتیب $40/9 \times 10^{-8}$ تا $59/9 \times 10^{-8} \text{ kg}^{-1} \text{ m}^{-8}$ و $81/1 \times 10^{-8} \text{ kg}^{-1} \text{ m}^{-8}$ تا $26/3 \times 10^{-8} \text{ kg}^{-1} \text{ m}^{-8}$ می‌باشد. مقدار $\chi_{\text{Gcf}}^{\text{lf}}$ آنها به ترتیب $59 \times 10^{-8} \text{ kg}^{-1} \text{ m}^{-8}$ تا $112 \times 10^{-8} \text{ kg}^{-1} \text{ m}^{-8}$ و $38/5 \times 10^{-8} \text{ kg}^{-1} \text{ m}^{-8}$ تا $72/3 \times 10^{-8} \text{ kg}^{-1} \text{ m}^{-8}$ است. اختلاف پذیرفتاری مغناطیسی خاک‌های با مواد مادری گوناگون، دور از ذهن نیست؛ زیرا شرایط تشکیل، نوع مواد تشکیل دهنده و به دنبال آن، نوع و مقدار مواد مغناطیسی مواد مادری، متفاوت است. گچ و کربنات‌ها بیش از 50° درصد افق‌های خاک مارنی (به جز دو افق سطحی) را تشکیل می‌دهند؛ با



شکل ۲. ارتباط مقادیر اندازه‌گیری شده و محاسبه شده (الف) پذیرفتاری مغناطیسی پس از حذف گچ ($\chi_{\text{Gf}}^{\text{lf}}$) و (ب) پذیرفتاری مغناطیسی پس از حذف گچ و کربنات‌ها ($\chi_{\text{Gcf}}^{\text{lf}}$)

شرایط هوادیدگی در سطح است (۶ و ۲۷). $\chi_{\text{Gcf}}^{\text{lf}}$ خاک‌های لسی نیز نسبتاً زیاد است و در افق‌های لسی با تحول کم (مانند افق Ap خاک لسی)، بیشتر از $10^0 \times 10^{-8} \text{ m}^3 \text{ kg}^{-1}$ است. کریمی و همکاران (۱۸) نشان دادند

ولی تفاوت کم مقادیر $\chi_{\text{Gcf}}^{\text{lf}}$ در افق‌های خاک مارنی، نشان‌دهنده تکامل کم در این خاک بوده و عدمه فرآیند خاک‌سازی، حل و رسوب گچ است. زیادتر بودن جزئی $\chi_{\text{bulk}}^{\text{lf}}$ در افق‌های سطحی این خاک و خاک‌های دیگر، به طور عمده به دلیل مناسب بودن

پذیرفتاری مغناطیسی خاک آبرفتی از ساپرولیت‌های گرانیتی بیشتر است و پس از حذف کربنات‌ها، گچ و شن، تغییر قابل توجهی را نشان نمی‌دهد که بیان گر این است که بخش رس و سیلت این خاک پذیرفتاری مغناطیسی کمی داشته و همان‌گونه که از مرفوژی خاک پیدا می‌باشد (جدول ۲) فرآیند خاک‌سازی قابل توجهی در آن رخ نداده است.

نکته دیگر، زیاد بودن مقدار χ_{bulk} دو افق سطحی خاک گرانیتی (Ap و Bk) نسبت به ساپرولیت گرانیتی می‌باشد و این اختلاف بین مقادیر χ_{GCF} نیز بیشتر شده است (جدول ۲). مطالعه قبلی (۵) در منطقه نشان داده است که این دو افق، حد واسط رسوبات لسی و خاک‌های درجا هستند که اضافه شدن رسوبات بادآورده به افق‌های سطحی باعث افزایش زیاد پذیرفتاری مغناطیسی این دو افق نسبت به ساپرولیت گرانیتی شده است (۵). افزایش پذیرفتاری مغناطیسی خاک سطحی به دلیل اضافه شدن مواد با پذیرفتاری مغناطیسی بیشتر توسط گرد و غبار، به عنوان یکی از عوامل افزایش پذیرفتاری مغناطیسی، گزارش شده است (۱۰).

جدول ۴ همبستگی χ_{bulk} و اجزای تشکیل‌دهنده خاک (شن، سیلت، رس، گچ و کربنات‌ها) را نشان می‌دهد. به دلیل تفاوت ماهیتی خاک‌های مارنی که در بالا به آن اشاره شد، همبستگی‌ها با و بدون مشارکت خاک مارنی محاسبه شد. به دلیل این که مقادیر پذیرفتاری مغناطیسی خاک مارنی به صورت قابل توجهی با دیگر خاک‌ها متفاوت است؛ همبستگی‌ها با حذف خاک مارنی، افزایش قابل توجهی دارند (جدول ۴). از سوی دیگر، با توجه به این که پس از حذف گچ و کربنات‌ها در صد نسبی شن، سیلت و رس تغییر می‌کند همبستگی‌های مشابه برای χ_{GCF} محاسبه نشد. همبستگی بین مقدار گچ و کربنات‌ها با χ_{bulk} کم می‌باشد؛ زیرا خاک‌های با گچ مشابه، χ_{bulk} متفاوت دارند. همبستگی منفی بین شن و χ_{bulk} حاکی از آن است که بخش شن نسبت به کل خاک دارای مواد مغناطیسی کمی است. افزایش پذیرفتاری مغناطیسی پس از حذف شن، دلیلی بر این ادعا است (جدول ۴). برخلاف نتایج این مطالعه، دجنگ و

که رسوبات مارنی مثناً اصلی رسوبات لسی بوده و به همین دلیل، زیاد بودن پذیرفتاری مغناطیسی خاک‌های لسی قابل توجیه است. χ_{GCF} افق آرجیلیک (Btk) مقطع لسی (اطلاعات نشان داده نشده‌اند) از افق‌های مجاور آنها بیشتر است که می‌تواند به دلیل فرآیندهای خاک‌سازی و شرایط هوایدگی مناسب در زمان تشکیل آنها باشد. مطالعات سن‌یابی نیز نشان داده‌اند که این افق در شرایط گرم و مرطوب آخرین دوره بین‌یخچالی تشکیل شده است (۱۷). کم بودن مقدار χ_{GCF} افق 2Btk خاک لسی (جدول ۲) که در شرایط مشابه افق آرجیلیک مقطع لسی تشکیل شده است در دید اول ممکن است غیرعادی باشد. این افق، ترکیبی از لس و گرانیت است و مقدار χ_{GCF} پس از حذف شن که غالباً از کوارتز و فلدسپار حاصل از هوایدگی گرانیت تشکیل شده است به شدت افزایش پیدا کرده و از افق‌های مجاور بیشتر شده است.

انواع گرانیت از سه کانی اصلی کوارتز، فلدسپار و میکا تشکیل شده‌اند و مقدار پذیرفتاری مغناطیسی آنها از صفر تا $10^{-8} \text{ m}^3 \text{ kg}^{-1}$ است (۱۶). شنگانو (۲۷) در مطالعه‌ای در ژیانگ چین نشان داد که مقدار χ_{bulk} ساپرولیت گرانیتی $10^{-8} \text{ m}^3 \text{ kg}^{-1}$ می‌رسد؛ در حالی که حتی مقدار χ_{GCF} ساپرولیت‌های گرانیتی در جنوب مشهد، کمتر از $10^{-8} \text{ m}^3 \text{ kg}^{-1}$ بوده است و با خاک‌های تشکیل شده بر روی گرانیت در اتریش (۱۳) مشابه است. پذیرفتاری مغناطیسی ساپرولیت گرانیتی لایه 1 در زیر خاک لسی (جدول ۲) پس از حذف گچ، کربنات‌ها و شن در مقایسه با ساپرولیت‌های گرانیتی دیگر، افزایش زیادی را نشان می‌دهد. از آنجا که پذیرفتاری مغناطیسی کوارتز و فلدسپار کوارتز نزدیک به صفر می‌باشد نوع میکا تعیین‌کننده میزان پذیرفتاری مغناطیسی گرانیت است. میکای ساپرولیت گرانیتی لایه 1 بیوتیت می‌باشد. پذیرفتاری مغناطیسی بیوتیت $10^{-8} \text{ m}^3 \text{ kg}^{-1}$ است. بنابراین با حذف شن که بیشتر آن را کوارتز و فلدسپار تشکیل می‌دهد بیشتر بودن χ_{GCF} لایه 1 قابل درک است.

جدول ۴. همبستگی بین پذیرفتاری مغناطیسی و ویژگی‌های خاک

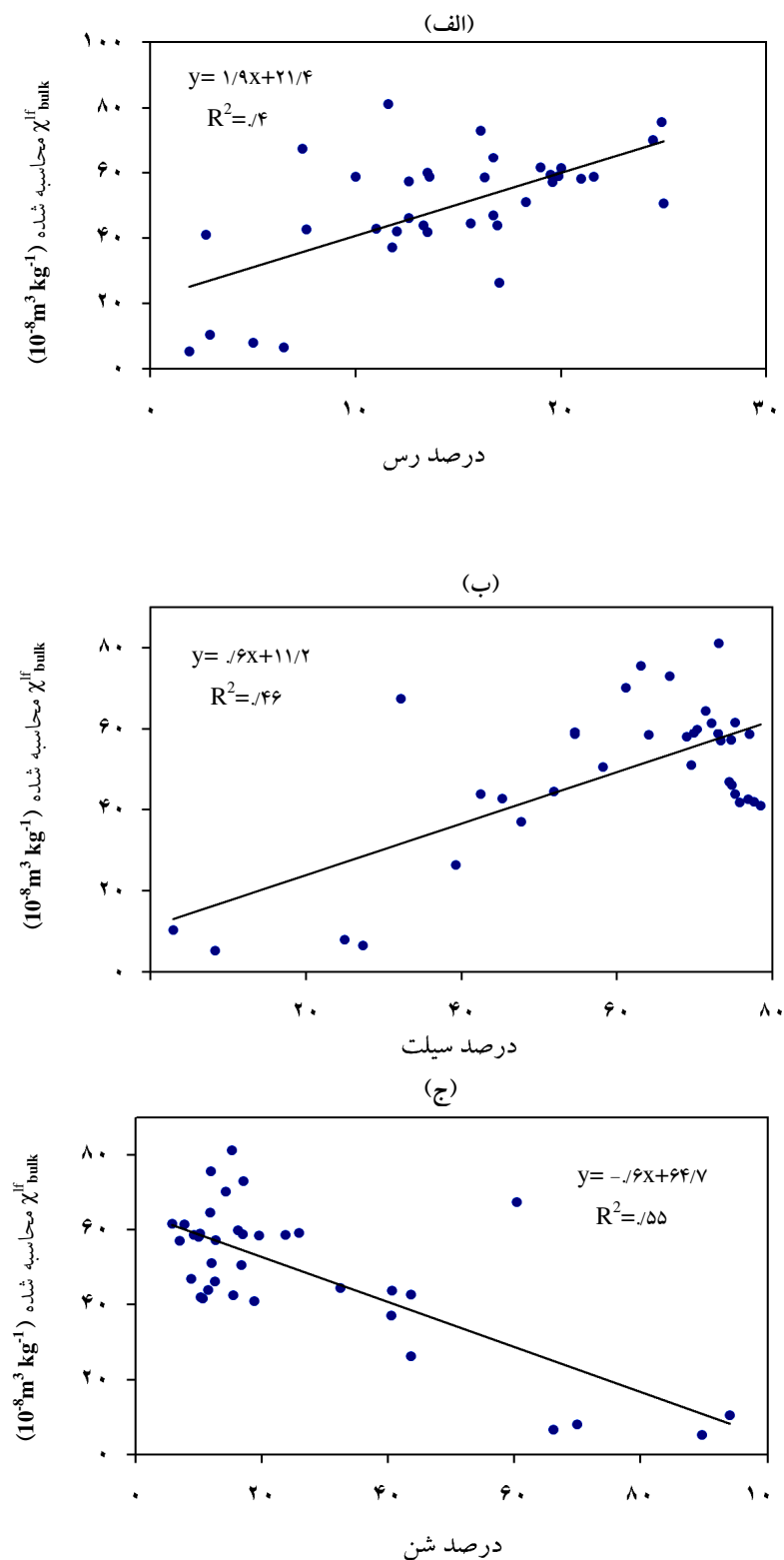
رس (%)	سیلت (%)	شن (%)	گچ + کربنات‌ها (%)	
۰/۴۴**	۰/۴۸**	-۰/۵۲**	-۰/۰۹	$\chi_{\text{bulk}}^{\text{lf}}$
۰/۶۳**	۰/۶۸**	-۰/۷۵**	-۰/۳۶**	^a $\chi_{\text{bulk}}^{\text{lf}}$

^a: پذیرفتاری مغناطیسی منهای خاک مارنی، واحد مقادیر پذیرفتاری مغناطیسی $\text{kg}^{-1} \text{m}^{-8}$ است.

در خاک‌های فائوزم (Phaeozems)، سهم رس بیشتر است. در خاک‌های منطقه مورد مطالعه، سیلت بسیار بیشتر از رس است (جدول ۲) ولی براساس معادلات در (شکل‌های ۳ - الف و ب)، شبی خط معادله مربوط به رابطه رس و سیلت با پذیرفتاری مغناطیسی به ترتیب $1/۹۲$ و $۰/۶۳$ است که با وجود مقادیر پذیرفتاری مغناطیسی خیلی بیشتر از سیلت است. شکل ۳ - ج هم تأثیر منفی مقادار شن را در پذیرفتاری مغناطیسی نشان می‌دهد که به غالب بودن کوارتز، فلدسپار و گچ در بخش شن مربوط می‌باشد. به هر حال برای روشن شدن تأثیر فرآیندهای خاک‌سازی و عوامل دیگر ایجاد کننده تغییرات پذیرفتاری مغناطیسی، اندازه‌گیری پذیرفتاری مغناطیسی جداگانه شن، سیلت و تعیین کانی‌های مغناطیسی هر کدام از اجزا به عنوان مطالعات تکمیلی پیشنهاد می‌شود.

در مطالعات زیادی از پذیرفتاری مغناطیسی برای نشان‌دادن میزان تکامل خاک‌های قدیمی و ارتباط آن با تغییرات اقلیمی استفاده شده است (۱۵، ۲۲ و ۲۶). از مهم‌ترین آنها مطالعات انجام‌شده روی توالی‌های لس- خاک قدیمی در چین است (۲۶). در این توالی‌ها مواد مادری یکسان بوده و تغییرات گچ و کربنات‌ها در آنها در حدی نیست که بتواند تأثیر فرآیندهای خاک‌سازی را بتواند. ولی در مطالعه حاضر علاوه بر این‌که مقادیر گچ و کربنات‌ها مواد مادری خاک‌ها متفاوت است، حتی در خاک‌خای لسی روی ساپرولیت گرانیتی و خاک‌رخ گرانیتی، مواد مادری یکنواخت نمی‌باشند و تغییرات پذیرفتاری

همکاران (۱۱) نشان دادند که در خاک‌های ساسکاچوان هر چه بافت درشت‌تر شود پذیرفتاری مغناطیسی افزایش می‌یابد که نشان‌دهنده تجمع مواد مغناطیسی در بخش شن است. از آنجا که شن معمولاً، کمتر تحت تأثیر هوادیدگی قرار می‌گیرد، می‌تواند منعکس کننده وضعیت مواد مادری باشد. حذف شن در خاک‌های مارنی باعث کاهش پذیرفتاری مغناطیسی شده است (جدول ۲) که بیانگر این واقعیت است که در این خاک، برخلاف خاک‌های دیگر این منطقه و مشابه با خاک‌های ساسکاچوان (۱۱)، شن نقش مهمی در پذیرفتاری مغناطیسی دارد. اهمیت تأثیر شن در پذیرفتاری مغناطیسی خاک‌های مارنی وقتی بیشتر آشکار می‌شود که بدانیم بخش بیشتر شن در این خاک‌ها از گچ تشکیل شده است و در موقع حذف گچ، از خاک خارج شده است و درصد شن افق‌های خاک مارنی پس از حذف کربنات‌ها و گچ کاهش می‌یابد. این مسئله نیز مجدد تأکیدی بر تفاوت در ماهیت مغناطیسی خاک‌های مارنی است. بیشترین مقدار همبستگی بین پذیرفتاری مغناطیسی و مقدار سیلت مشاهده گردید. مقدار رس نیز در مرتبه دوم از نظر میزان همبستگی با پذیرفتاری مغناطیسی قرار داشت. همبستگی مثبت بین پذیرفتاری مغناطیسی و سیلت و رس نشان‌دهنده تأثیر هر دو جزء در پذیرفتاری مغناطیسی است. به عنوان یک قانون کلی، در خلال فرآیندهای خاک‌سازی، معمولاً عامل اصلی افزایش پذیرفتاری مغناطیس مربوط به بخش رس است. آلكسی‌یو و همکاران (۶) نشان دادند که سهم اجزای شن، سیلت و رس خاک‌های کمبی‌سول در پذیرفتاری مغناطیسی یکسان بوده ولی



شکل ۳. ارتباط بین χ_{bulk}^if و (الف) درصد رس، (ب) درصد سیلت و (ج) درصد شن، (نمونه‌های خاک مارنی در نظر گرفته نشده‌اند).

بودن مقدار مواد آلی و رطوبت هواخشک در مقابل گچ و کربنات‌ها، نیازی به در نظر گرفتن تأثیر این دو ماده در مناطق خشک نیست. به عبارت دیگر، می‌توان χ_{GCF} ^{۱۱} محاسبه شده را معادل χ_{minero} ^{۱۲} در نظر گرفت. مقایسه پذیرفتاری مغناطیسی خاک‌ها با مواد مادری متفاوت نشان داد که صرف نظر از مکانیسم‌هایی که باعث تغییر در پذیرفتاری مغناطیسی می‌شوند، نوع مواد مادری بهشت بر میزان پذیرفتاری مغناطیسی مؤثر است. در منطقه مورد مطالعه، خاک‌های حاصل از مارن‌های قرمز با مقدار $5/2 \times 10^{-8} \text{ m}^3 \text{ kg}^{-1}$ و گرانیت با مقدار $122/7 \times 10^{-8} \text{ m}^3$ به ترتیب بیشترین و کمترین مقدار χ_{bulk} ^{۱۳} را دارا می‌باشند و خاک‌های لسی و آبرفتی حد واسط این دو قرار دارند. بخش شن تأثیر کاهنده و سیلت و رس اثر افزاینده در مقدار پذیرفتاری مغناطیسی خاک‌های مورد مطالعه را دارند. البته در مورد خاک مارنی، حذف شن باعث کاهش پذیرفتاری مغناطیسی می‌شود که این ویژگی به همراه پذیرفتاری مغناطیسی بالای خاک مارنی سبب تمايز آن از سایر خاک‌ها می‌شود. در پژوهش‌های آتی، کانی‌شناسی ترکیبات آهن و آزمایش‌های شیمیایی برای روشن کردن شدت تأثیر مواد مادری و فرآیندهای خاک‌سازی پیشنهاد می‌شود.

سپاسگزاری

بدین‌وسیله از معاونت پژوهشی دانشگاه فردوسی مشهد، به‌دلیل تأمین هزینه انجام این پژوهش در قالب طرح مصوب شماره ۲۴۴ پ، مورخ ۸/۷/۸۸ تشكر و قدردانی می‌گردد.

مغناطیسی بدون در نظر گرفتن این مواد غیرمنطقی به نظر می‌رسد. بنابراین، لازم است که نقش مواد مادری و گچ و کربنات‌ها در تفسیر نتایج پذیرفتاری مغناطیسی خاک‌ها در نظر گرفته شود.

نتیجه‌گیری

پذیرفتاری مغناطیسی، یک شاخص مناسب برای بررسی ویژگی‌های خاک و رسوبات است. ترکیب مواد مادری و فرآیندهای خاک‌سازی، باعث تغییر در پذیرفتاری مغناطیسی خاک‌ها می‌شوند. بهمین دلیل، برای جلوگیری از هرگونه اشتباه در تفسیر نتایج پذیرفتاری مغناطیسی، باید تأثیر نوع ماده مادری، مواد دیامغناطیس متحرک و فرآیندهای خاک‌سازی بر تغییرات پذیرفتاری مغناطیسی شناخته شود. مطالعه حاضر با هدف روشن کردن عوامل مؤثر بر پذیرفتاری مغناطیسی و نه تفسیر توضیح مکانیزم‌های تغییرات پذیرفتاری مغناطیسی خاک‌های جنوب مشهد انجام شد.

این مطالعه به خوبی تأثیر مواد دیامغناطیس مهم مناطق خشک (گچ و کربنات‌ها) و مواد مادری را بر پذیرفتاری مغناطیسی خاک نشان داد. نتایج نشان می‌دهد که گچ و کربنات‌ها به نسبت سه‌می که از خاک اشغال می‌کنند باعث کاهش پذیرفتاری مغناطیسی می‌شوند و تأثیر عوامل ایجادکننده یا تغییردهنده پذیرفتاری مغناطیسی را می‌پوشانند. به‌سادگی می‌توان براساس مقدار گچ و کربنات‌ها در خاک و در نظر گرفتن پذیرفتاری مغناطیسی معادل صفر برای گچ و کربنات‌ها، اثر آنها را حذف کرد. به‌دلیل ناچیز

منابع مورد استفاده

۱. اولیائی، ا.، ا. ادهمی، م. چاکرحسینی، م. رجایی و ع. کسرائیان. ۱۳۸۸. ارزیابی منشأ پذیرفتاری مغناطیسی با استفاده از تیمار CBD و تصاویر میکروکت اسکن در برخی خاک‌های استان فارس. مجله علوم و فنون کشاورزی و منابع طبیعی ۴۶: ۷۷۳-۷۷۸.
۲. ایوبی، ش. ۱۳۸۱. مطالعه شواهد پدوژنیکی تغییر اقلیم در خاک‌های قدیمی دو منطقه اصفهان و امام‌قیس چهارمحال و بختیاری. رساله دکترای خاک‌شناسی، دانشکده کشاورزی، دانشگاه صنعتی اصفهان.
۳. ترابی گل سفیدی، ح. و م. کریمیان اقبال. ۱۳۸۱. مطالعه و بررسی تکامل خاک با استفاده از پذیرفتاری مغناطیسی در حاشیه رودخانه سفیدرود در گیلان. مجله علوم خاک و آب: ۲۰۶-۲۱۳.

۴. طاهری، ج. ۱۳۷۳. نقشه زمین‌شناسی ۱/۱۰۰۰۰۰ مشهد. وزارت معدن و فلزات، سازمان زمین‌شناسی کشور.
۵. کریمی ع.، ح. خادمی و ا. جلالیان. ۱۳۸۷. شناسایی خاک‌های لسی و تفکیک آنها از سایر خاک‌ها در جنوب مشهد. علوم و فنون کشاورزی و منابع طبیعی ۴۴: ۱۸۵-۲۰۰.

6. Alekseev A., T. Alekseeva, Z. Sokolowska and M. Hajnos. 2002. Magnetic and mineralogical properties of different granulometric fractions in the soils of the Lublin Upland Region. *Intl. Agrophys.* 16:1-6.
7. Blaha U., E. Appel and H. Stanjek. 2008. Determination of anthropogenic boundary depth in industrially polluted soil and semi-quantification of heavy metal loads using magnetic susceptibility. *Environ. Pollut.* 156: 278-289.
8. Coey I. M. D. 1988. Magnetic properties of iron in soil iron oxides and clay minerals. In: Stucki, J. W., B. A. Goodman and U. Schwertmann (Eds.), *Iron in Soils and Clay Minerals*. Reidel Pub., Dordrecht.
9. Dearing J. A., K. L. Hay, S. M. J. Balsan, A. S. Huddleston, E. M. H. Wellington and P. J. Loveland. 1996. Magnetic susceptibility of soil: An evaluation of contributing theories using a national data set. *Geophys. J. Intl.* 127: 728-734.
10. Dearing J. A., J. A. Lees and C. White. 1995. Mineral magnetic properties of acid gleyed soils under Oak and Corsican Pine. *Geoderma* 68: 309-319.
11. de Jong E., L. M. Kozak and H. P. W. Rostad. 2000. Effects of parent material and climate on the magnetic susceptibility of Saskatchewan soils. *Can. J. Soil Sci.* 80: 135-142.
12. Fontes M. P. F., T. S. de Oliveira L. M. da Costa and A. A. G. Campos. 2000. Magnetic separation and evaluation of magnetization of Brazilian soils from different parent materials. *Geoderma* 96: 81-99.
13. Hanesch M. and R. Schloger. 2005. The influence of soil type on the magnetic susceptibility measured through soil profiles. *Geophys. J. Intl.* 161: 50-56.
14. Hanesch M., G. Rantitsch, S. Hemetsberger and S. Scholger. 2007. Lithological and pedological influences on the magnetic susceptibility of soil: Their consideration in magnetic pollution mapping. *Sci. Tot. Environ.* 382: 351-363.
15. Heller F. and T. S. Liu. 1986. Paleoclimatic and sedimentary history from magnetic susceptibility of loess in China. *Geophys. Res. Lett.* 13: 1169-1172.
16. Hunt C. P., B. M. Moskowitz and S. K. Banjee. 1995. Magnetic properties of rocks and minerals. PP. 189-204. In: Ahrens, T. J. (Ed.), *Rock Physics and Relations, a Handbook of Physical Constant*. American Geophysical Union, Washington DC, USA.
17. Karimi A., M. Frechen, H. Khademi, M. Kehl and A. Jalalian. 2009. Chronostratigraphy of loess deposits from northeast Iran. *Quat. Intl.* 234: 124-132.
18. Karimi A., H. Khademi, M. Kehl and A. Jalaian. 2009. Distribution, lithology and provenance of peridesert loess deposits in Northeast Iran. *Geoderma* 148: 241-250.
19. Lu S. G. 2000. Characterization of magnetism and iron oxide minerals of Quaternary red earth and its paleoenvironmental implication. *Acta Ped. Sin.* 37: 182-191.
20. Lu S. G., Q. F. Xue, L. Zhu and J. Y. Yu. 2008. Mineral magnetic properties of a weathering sequence of soils derived from basalt in eastern China. *Catena* 73: 23-33.
21. Maher B. A. 1986. Characterization of soils by mineral magnetic measurements. *Phys. Earth Planet. Intl.* 42: 76-92.
22. Maher B. A., M. Y. Roberts and A. G. Wintel. 2003. Holocene loess accumulation and soil development in the western edge of the Chinese Loess Plateau: implication for magnetic proxies of paleorainfall. *Quat. Sci. Rev.* 22: 445-451
23. Mullins C. E. 1977. Magnetic susceptibility of the soil and its significance in soil science: a review. *J. Soil Sci.* 28: 223-246.
24. Oldfield S. 1991. Environmental magnetism- a personal perspective. *Quat. Sci. Rev.* 10: 73-85.
25. Porta, J. 1998. Methodologies for the analysis and characterization of gypsum in soil: A review. *Geoderma* 87: 31-46.
26. Rutter N. W., Z. L. Ding, M. E. Evans and T. S. Liu. 1991. Baoji-type pedostratigraphic section, Loess Plateau, north-central China. *Quat. Sci. Rev.* 10: 1-22.
27. Shenggao, L. 2000. Lithological factors affecting magnetic susceptibility of subtropical soils, Zhejiang Province, China. *Catena* 40: 359-373.
28. Soil Survey Staff. 1996. *Soil Survey Laboratory Methods Manual*. Soil Survey Investigations Report, No. 42. Version 3.0, USDA-NRCS., 693 p.